

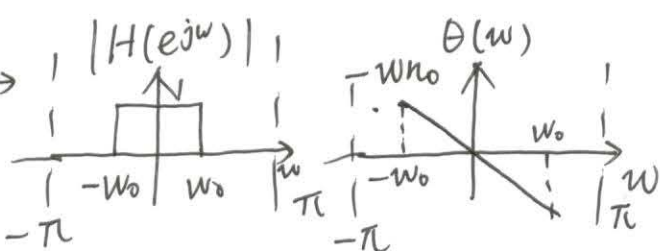
FIR滤波器设计

FIR = Finite Impulse Response (有限冲激响应)
更通俗的说, FIR 滤波器设计就是设计一个有限长序列 $h[n]$, 使它的离散傅里叶变换

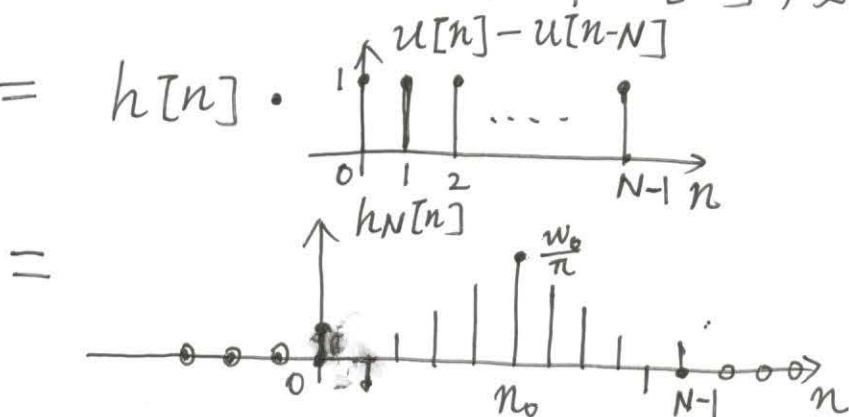
$$h[n] \xrightarrow{F} H(e^{j\omega})$$

满足我们需要的性质。

我们以低通滤波器为例来说明 FIR 滤波器的设计准则。我们在第四章中学到理想低通滤波器

$$h[n] = \frac{\sin[\omega_0(n-n_0)]}{\pi(n-n_0)} \xrightarrow{F} \begin{matrix} |H(e^{j\omega})| \\ \theta(\omega) \end{matrix}$$


但是以上 $h[n]$ 却不能物理实现, 这是因为 $h[n]$ 是无限长, 而我们的硬件设备只能处理有限长; 另一方面, 我们需要保证 $h[n]$ 是因果序列 (即 $h[n]=0$ 当 $n < 0$ 时)。一个直接的想法就是截断 $h[n]$, 如下所示:

$$h_N[n] = h[n] \cdot (u[n] - u[n-N])$$


一般来说, 我们取 $N = 2n_0 + 1$, 这样取到的点就以 n_0 为中心对称, 在第二节中我们可以看到, 对称的 $h[n]$ 可以使 $H(e^{j\omega})$ 具有线性相位。

在程序 showhn.m 中, 我们给出了 $h_N[n]$ 的时域和频域图像。

可以看到 $h_N[n]$ 的幅度谱 $H(e^{j\omega})$ 有一些波纹,这是由于截断效应导致的吉布斯现象。分析如下:

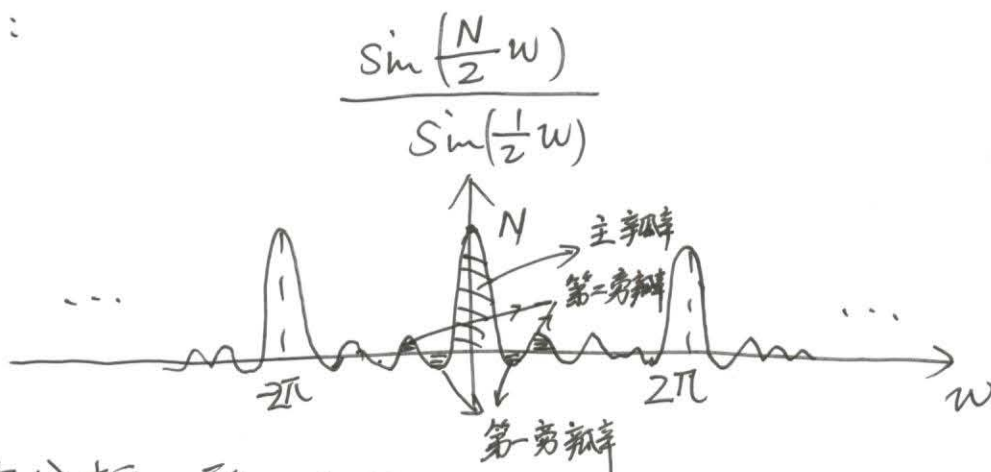
$$h_N[n] = h[n] (u[n] - u[n-N])$$

$$\downarrow F \qquad \qquad \downarrow F \qquad \qquad \downarrow F$$

$$H_N(e^{j\omega}) = \frac{1}{2\pi} H(e^{j\omega}) \otimes \left[\frac{\sin(\frac{N}{2}\omega)}{\sin(\frac{1}{2}\omega)} e^{-j\omega \frac{N-1}{2}} \right]$$

括号中 $e^{-j\omega \frac{N-1}{2}}$ 是线性相位,对应延时 $\frac{N-1}{2}$ 。而

$\frac{\sin(\frac{N}{2}\omega)}{\sin(\frac{1}{2}\omega)}$ 是一个 2π 为周期函数,它的图像如下:



与第三章分析一致,如果我们要让 $H_N(e^{j\omega})$ 尽量接近 $H(e^{j\omega})$ 则我们最好令主瓣面积越大越好,而旁瓣面积越小越好。因此,矩形窗 $u[n] - u[n-N]$ 不是最好的窗函数,我们会构造其他窗函数来增大主瓣面积,降低旁瓣面积。

除了矩形窗之外,常见的窗函数有汉宁窗(Hanning Window),汉明窗(Hamming Window),布莱克曼窗(Blackman Window),凯泽窗(Kaiser Window)等。

下表是这些窗函数形式及参数。

窗名称	时域序列 $h[n] \quad 0 \leq n \leq N-1$	主瓣 3dB带宽	最高 旁瓣	旁瓣每10个 倍频程衰减 (dB)
矩形窗	$u[n] - u[n-N]$	0.89	-13.3	-20
汉宁窗	$\frac{1}{2} \left(1 - \cos \frac{2\pi n}{N-1} \right)$	1.44	-31.5	-60
汉明窗	$0.54 - 0.46 \cos \frac{2\pi n}{N-1}$	1.30	-43.2	-20
凯泽窗	$\frac{I_0 \left[a \sqrt{\left(\frac{N-1}{2} \right)^2 - \left(n - \frac{N-1}{2} \right)^2} \right]}{I_0 \left(a \left(\frac{N-1}{2} \right) \right)}$	1.71	-66.6	-20
布莱克曼窗	$0.42 - 0.5 \cos \frac{2\pi n}{N-1} + 0.08 \frac{4\pi n}{N-1}$	1.68	+92.2	-20

在 showwindowfunction.m 中, 我们给出了这些窗函数的频谱 $|H(e^{j\omega})|$, 由于它们都是线性相位 (即以 $n_0 = \frac{N-1}{2}$ 对称), 因此我们没有画 $\theta(\omega)$ 。可见, 以上这些窗函数扩大了主瓣并压缩了旁瓣, ~~可以~~ 尽可能减少了截断对频谱的影响。而具体哪一个窗函数更好, 是需要根据实际情况确定。

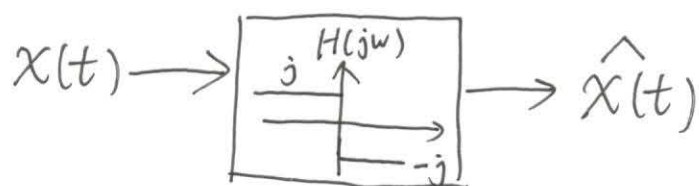
(1) 基于窗函数的滤波器设计

我们以课程设计第1题为例, 设计一个希尔伯特变换的 FIR 滤波器, 用于计算窄带信号

$x(t) = A(t) \cos(\omega_0 t + \theta(t))$ 的幅度 $|A(t)|$ 和瞬时相位 $\omega_0 + \frac{d\theta(t)}{dt}$ (其中 $A(t)$ 相比 $\cos(\omega_0 t + \theta(t))$ 变化缓慢很多。)

② 理论分析

利用希尔伯特变换求解 $|A(t)|$ 和 $\omega_0 + \frac{d\theta(t)}{dt}$ 的步骤如下:
首先将 $x(t)$ 通过希尔伯特变换器得到 $\hat{x}(t)$



因为 $x(t) = A(t) \cos(\omega_0 t + \theta(t))$, 则有

$$\hat{x}(t) \approx A(t) \sin(\omega_0 t + \theta(t))$$

因此:

$$|A(t)| = \sqrt{x(t)^2 + \hat{x}(t)^2}$$

$$\varphi(t) = \omega_0 t + \theta(t) = \arctan\left(\frac{\hat{x}(t)}{x(t)}\right)$$

设 $q(t) = x(t) + j\hat{x}(t) = |A(t)|e^{j\varphi(t)}$

则有:

$$\ln[q(t)] = \ln|A(t)| + j\varphi(t)$$

则有:

$$\varphi(t) = \text{Im}\left\{\ln[q(t)]\right\}$$

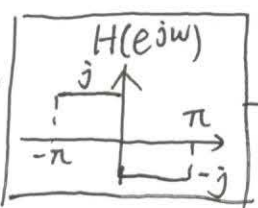
则有瞬时相位

$$\begin{aligned}\omega_0 + \frac{d\theta(t)}{dt} &= \frac{d\varphi(t)}{dt} = \text{Im}\left\{\frac{d\ln[q(t)]}{dt}\right\} \\ &= \text{Im}\left\{\frac{1}{q(t)} \frac{dq(t)}{dt}\right\}\end{aligned}$$

我们会用上述公式来求瞬时相位。

⑥ 编程细节

首先我们需要把上述连续信号变成离散信号, 用离散希尔伯特变换代替连续希尔伯特变换

$$X[n] = X(nT) \longrightarrow \boxed{H(e^{j\omega})} \longrightarrow \hat{X}[n]$$


首先我们计算

$$h[n] = F^{-1} \left[\begin{array}{c} \text{Plot of } H(e^{j\omega}) \\ \text{from } -\pi \text{ to } \pi \end{array} \right] = \frac{1}{2\pi} \int_{-\pi}^0 j e^{j\omega n} d\omega - \frac{1}{2\pi} \int_0^{\pi} j e^{j\omega n} d\omega$$

$$= \frac{1 - (-1)^n}{\pi n}$$

因此,

$$h[n] = \begin{cases} 0, & \text{当 } n \text{ 为偶数时} \\ \frac{2}{\pi n}, & \text{当 } n \text{ 为奇数时。} \end{cases}$$

这是一个以原点为中心对称的奇函数。
和设计低通滤波器一样, 我们将 $h[n]$ 右移 n_0 , 同时在 $[0, N-1]$ 上用窗函数, 其中 $N = 2n_0 + 1$, 得到

$$h_N[n] = h\left[n - \frac{N-1}{2}\right] \cdot \text{window function}(N)$$

根据第四章知识可知, $h[n]$ 右移 n_0 后, 导致系统相位增加了一个线性值 $-\omega n_0$, 这个线性相位不影响对 $|A(t)|$ 和 $\omega + \frac{d\phi(t)}{dt}$ 的计算。

获得 $h_N[n]$ 后, 我们可以直接卷积获得 $\hat{X}[n]$

$$\hat{X}[n] \approx X[n] * h_N[n]$$

需要注意,为了让 $x[n]$ 和 $\hat{x}[n]$ 序列长度一致,我们用如下 Matlab 函数

$$\hat{x} = \text{conv}(x, h_N, 'same')$$

其中 'same' 表示 卷积结果去除边缘点,使 \hat{x} 与 x 长度一致。

接下来可以计算包络幅度

$$|A[n]| \approx \sqrt{x[n]^2 + \hat{x}[n]^2}$$

由于瞬时频率

$$\omega_0 + \frac{d\theta(t)}{dt} = \text{Im} \left\{ \frac{1}{q(t)} \frac{dq(t)}{dt} \right\}$$

以上式子中,我们做如下近似:

$$q[n] = q(nT) = x[n] + j\hat{x}[n]$$

$$\frac{dq(t)}{dt} \approx \frac{q[n+1] - q[n]}{T} \quad (T \text{ 是采样周期})$$

$$\frac{1}{q(t)} = \frac{1}{\frac{q[n+1] + q[n]}{2}} = \frac{2}{q[n+1] + q[n]}$$

代入后得到

$$\text{瞬时频率} = \omega_0 + \frac{d\theta(t)}{dt} \approx \text{Im} \left[\frac{2(q[n+1] - q[n])}{T(q[n+1] + q[n])} \right]$$

在程序 test Hilbert.m 中,我们给出了基于以上思路求包络和瞬时频率的程序。

(2) 最优等纹波线性相位 FIR 滤波器设计

从前面的讨论可知, 设计 FIR 滤波器等价于寻找一个 $h[n]$ 使之满足如下条件:

- ① $h[n]$ 在 $0 \sim N-1$ 范围内有值 (这个条件保证 $h[n]$ 有限长和因果)
- ② $h[n]$ 的傅里叶变换 $H(e^{j\omega})$ 是线性相位 (这个条件保证 $H(e^{j\omega})$ 具有理想滤波器的相位特性)。
- ③ 在一些特定的频率点上, 如 $\omega_0, \omega_1, \dots, \omega_k$ 上, $H(e^{j\omega_0}), H(e^{j\omega_1}), \dots, H(e^{j\omega_k})$ 等于我们想要的值。

这一节我们分析并寻找方法来实现上述条件。

首先我们看条件①和②, 研究表明, 同时满足有限、因果和线性相位的 $h[n]$ 有如下 4 种情况:

情况 1: N 为奇数且 $h[n] = h[N-1-n]$, 此时

$$H(e^{j\omega}) = e^{-j\omega \frac{N-1}{2}} \left\{ h\left[\frac{N-1}{2}\right] + 2 \sum_{n=0}^{\frac{N-3}{2}} h[n] \cos\left[\left(\frac{N-1}{2} - n\right)\omega\right] \right\}$$

此时, 我们只须确定 $h[0] \sim h\left[\frac{N-1}{2}\right]$ 这 $\frac{N+1}{2}$ 个数即可。设

$$a[k] = \begin{cases} h\left[\frac{N-1}{2}\right] & \text{当 } k=0 \text{ 时} \\ 2h\left[\frac{N-1}{2} - k\right] & \text{当 } k=1, 2, \dots, \frac{N-1}{2} \end{cases}$$

则有

$$H(e^{j\omega}) = e^{-j\omega \frac{N-1}{2}} \sum_{k=0}^{\frac{N-1}{2}} a[k] \cos(\omega k)$$

情况2: N 为偶数且 $h[n] = h[N-1-n]$, 此时

$$H(e^{j\omega}) = e^{-j\omega \frac{N-1}{2}} \cdot 2 \sum_{n=0}^{\frac{N}{2}-1} h[n] \cos\left[\left(\frac{N-1}{2} - n\right)\omega\right]$$

此时我们只需要确定 $h[0] \sim h[\frac{N}{2}-1]$ 这 $\frac{N}{2}$ 个数即可。

设 $a[k] = 2h[\frac{N}{2}-k]$, 则有:

$$H(e^{j\omega}) = \sum_{k=0}^{\frac{N}{2}-1} a[k] \cos\left[\left(k - \frac{1}{2}\right)\omega\right] \cdot e^{-j\omega \frac{N-1}{2}}$$

情况3: N 为奇数且 $h[n] = -h[N-1-n]$, 此时:

$$H(e^{j\omega}) = je^{-j\omega \frac{N-1}{2}} \sum_{n=0}^{\frac{N-3}{2}} 2h[n] \sin\left[\left(\frac{N-1}{2} - n\right)\omega\right]$$

设 $a[k] = 2h[\frac{N-1}{2}-k]$, 则有

$$H(e^{j\omega}) = je^{-j\omega \frac{N-1}{2}} \sum_{k=0}^{\frac{N-3}{2}} a[k] \sin(\omega k)$$

情况4: N 为偶数且 $h[n] = -h[N-1-n]$, 此时

$$H(e^{j\omega}) = je^{-j\omega \frac{N-1}{2}} \sum_{n=0}^{\frac{N}{2}-1} 2h[n] \sin\left[\left(\frac{N-1}{2} - n\right)\omega\right]$$

设 $a[k] = 2h[\frac{N}{2}-k]$ 则有:

$$H(e^{j\omega}) = je^{-j\omega \frac{N-1}{2}} \sum_{k=1}^{\frac{N}{2}} a[k] \sin\left[\left(k - \frac{1}{2}\right)\omega\right]$$

总结如下:

① N 为奇数且 $h[n] = h[N-1-n]$ 时

$$H(e^{j\omega}) = e^{-j\omega \frac{N-1}{2}} \sum_{k=0}^{\frac{N-1}{2}} a[k] \cos(\omega k)$$

需要求 $a[k]$ ($k=0 \sim \frac{N-1}{2}$) 总共 $\frac{N+1}{2}$ 个未知数。

② N 为偶数且 $h[n] = h[N-1-n]$ 时

$$H(e^{j\omega}) = e^{-j\omega \frac{N-1}{2}} \sum_{k=0}^{\frac{N}{2}-1} a_k \cos[(k-\frac{1}{2})\omega]$$

需要求 a_k ($k=0 \sim \frac{N}{2}-1$) 总共 $\frac{N}{2}$ 个未知数。

③ N 为奇数且 $h[n] = -h[N-1-n]$

$$H(e^{j\omega}) = j e^{-j\omega \frac{N-1}{2}} \sum_{k=0}^{\frac{N-3}{2}} a[k] \sin(\omega k)$$

需要求 a_k ($k=0 \sim \frac{N-3}{2}$) 总共 $\frac{N-1}{2}$ 个未知数。

④ N 为偶数且 $h[n] = -h[N-1-n]$

$$H(e^{j\omega}) = j e^{-j\omega \frac{N-1}{2}} \sum_{k=1}^{\frac{N}{2}} a[k] \sin[(k-\frac{1}{2})\omega]$$

需要求 a_k ($k=1 \sim \frac{N}{2}$) 总共 $\frac{N}{2}$ 个未知数。

回到条件③, 我们要在一组特定的 $\omega_0, \omega_1, \dots, \omega_K$ 上使 $H(e^{j\omega})$ 等于某些确定的值, 这实际上是一个解方程的问题, 不过这个方程组有点复杂, 包含 \cos , \sin , 可能不会精确相等。

前人在这做了大量工作,发明了很多以上方程组的近似解法,其中比较有名的是 Parks-McClellan 方法,在这里我们不详细展开,有兴趣的同学可以参阅《数字信号处理——原理、算法和应用》(Digital Signal Processing — Principles, Algorithms, and Applications)

Matlab 中的 `firpm` 函数集成了 Parks-McClellan 方法。在程序 `test Hilbert PM Algorithm.m` 中,我们给出了用 Park-McClellan 算法求信号包络和瞬时相位的程序。

请注意,我发现 Matlab 中 Park-McClellan 算法只能取 N 较小时才有用,当 N 很大如 $N > 1000$ 时,该算法不收敛。由于 N 较小,导致 Park-McClellan 算法在 $x(t)$ 取得较复杂时效果不如窗函数法。同学们可以研究如何完善这个算法。